

振动光谱1. 双原子分子

- 双原子分子振动能级
- 振动光谱选择定则
- 振动非谐性
- 振-转跃迁

朱海明

hmzhu@zju.edu.cn

13429129488

海纳苑C419

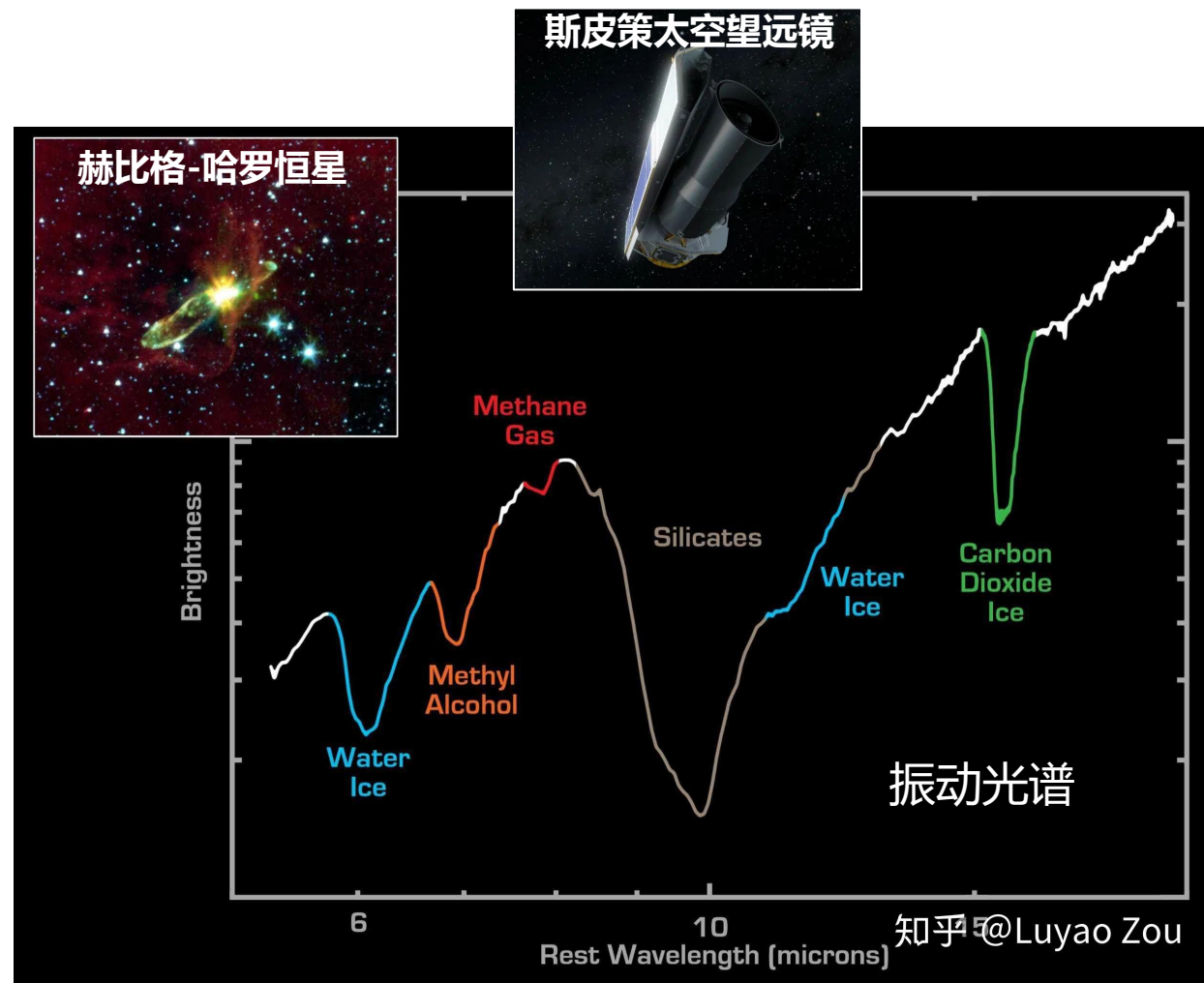
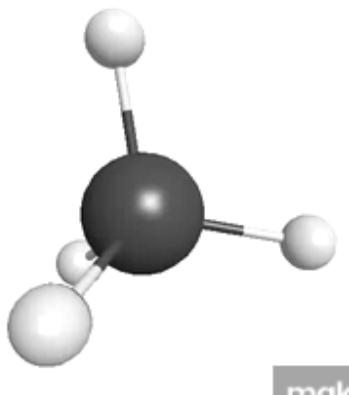
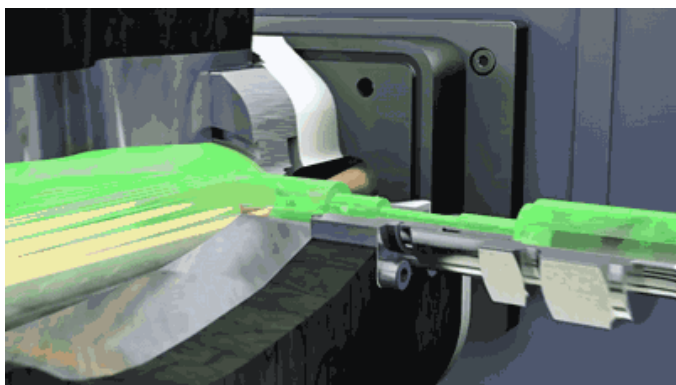
振动光谱

分子运动： 振动

波段： 中红外，1-30 μm

样品： 固体，液体，气体

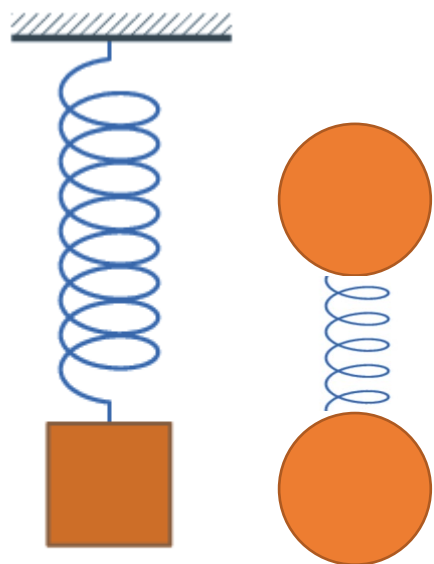
转动光谱的不足：1. 必须为气态；2. 极性分子



有机化合物分析，生物大分子研究，环境气体检测，食品分析，物质鉴定。。。

1. 双原子分子振动能级

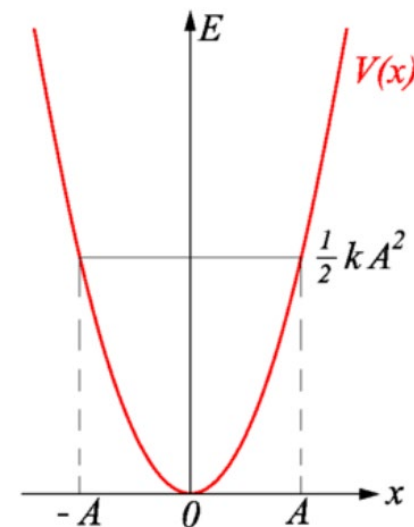
简谐振动与胡克定理



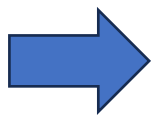
胡克定理: $F = -k(r - r_e) = -kx$ 弹簧力常数 k

振动势能: $V(x) = \frac{1}{2} kx^2$

运动方程: $F = \mu \frac{d^2x}{dt^2} = -kx$ 约化质量 $\mu = \frac{m_1 m_2}{m_1 + m_2}$



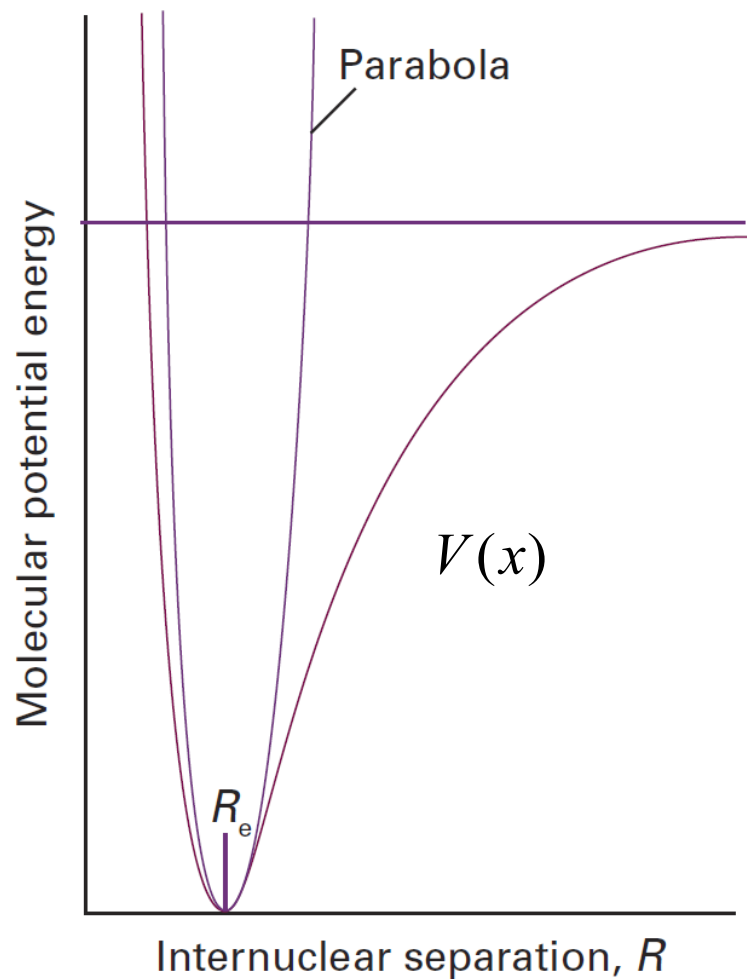
简谐振子
Harmonic Oscillator



$$x = A \sin(\omega t + \varphi)$$

振动频率 $\omega = \sqrt{k/\mu}$

1. 双原子分子振动能级



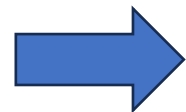
双原子势能曲线

势能在最低点 $x=0$ 的泰勒展开

$$V(x) = V(0) + \left(\frac{dV}{dx}\right)_0 x + \boxed{\frac{1}{2} \left(\frac{d^2V}{dx^2}\right)_0 x^2} + \dots$$

\downarrow \downarrow
0 **0**

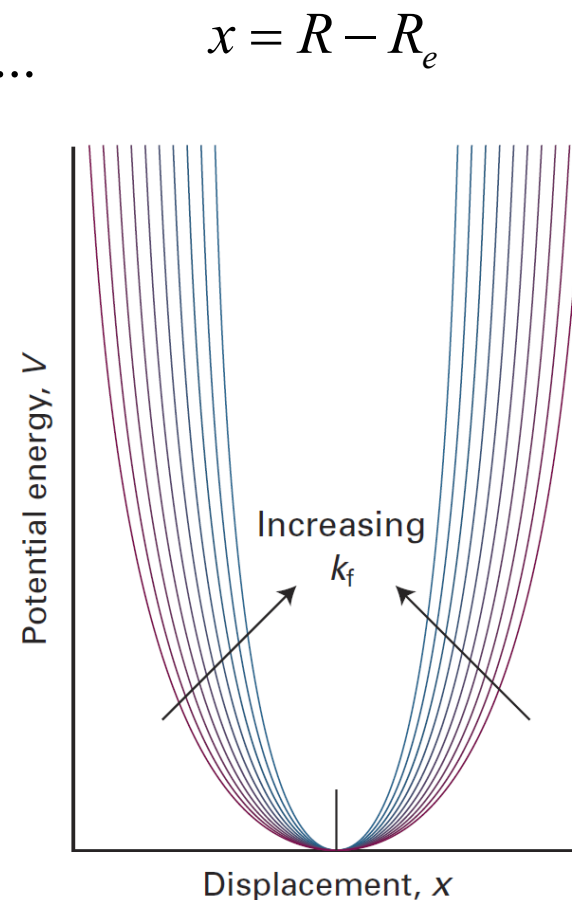
谐振子近似



$$V(x) \approx \frac{1}{2} \boxed{\left(\frac{d^2V}{dx^2}\right)_0} x^2 = \frac{1}{2} kx^2$$

量子简谐振子

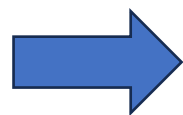
Quantum Harmonic Oscillator



1. 双原子分子振动能级

薛定谔方程 (谐振势能下两个原子间的相对运动)

$$\left(-\frac{\hbar^2}{2\mu} \frac{\partial^2}{\partial x^2} + \frac{1}{2} kx^2 \right) \Psi = E\Psi \quad \mu = \frac{m_1 m_2}{m_1 + m_2}$$



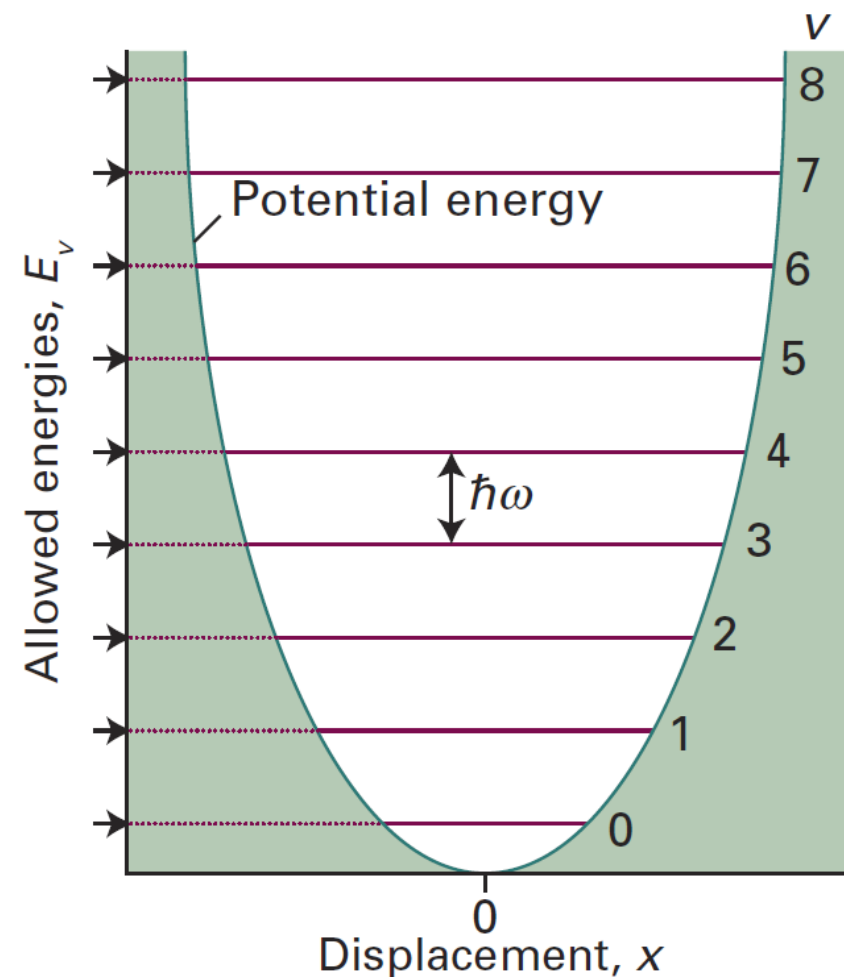
振动能级: $E_v = (v + \frac{1}{2})\hbar\omega$ (单位J)

$$\omega = \sqrt{\frac{k}{\mu}}$$

振动量子数 $v = 0, 1, 2, \dots$

$$\tilde{G}_v = (v + \frac{1}{2})\tilde{\nu} \quad (\text{单位} \text{cm}^{-1}) \quad \tilde{\nu} = \frac{1}{2\pi c} \sqrt{\frac{k}{\mu}}$$

- 振动零点能, 在绝对零度也有振动 (不确定原理)
- 振动能级等间隔



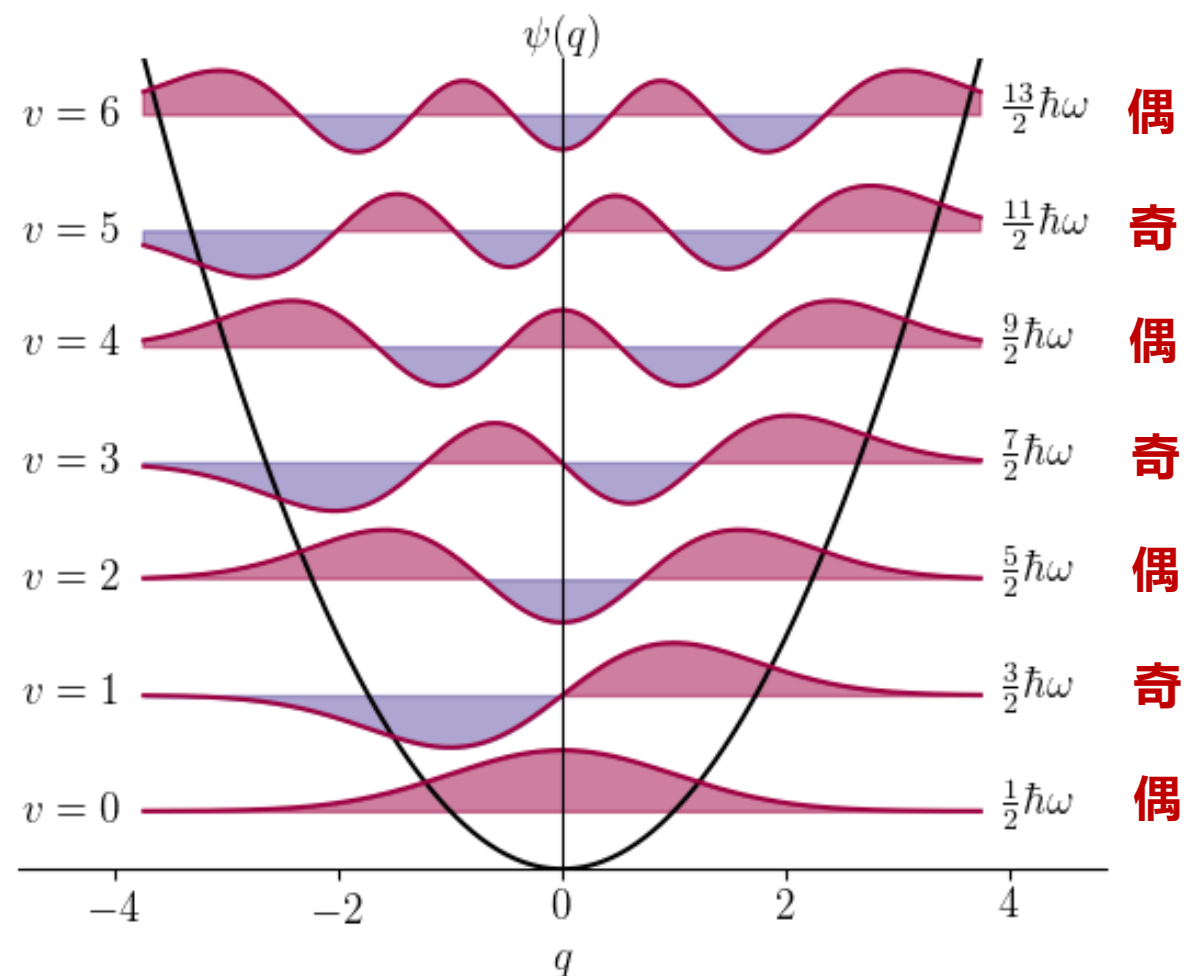
1. 双原子分子振动能级

波函数: $\psi_v(x) = N_v H_v(y) e^{-y^2/2}$

$$y = \frac{x}{\alpha} \quad \alpha = \left(\frac{\hbar^2}{mk_f} \right)^{1/4}$$

Table 8.1 The Hermite polynomials $H_v(y)$

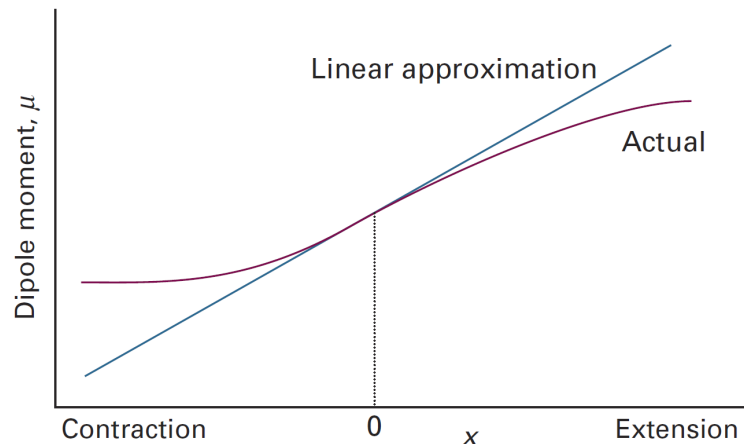
v	$H_v(y)$
0	1
1	$2y$
2	$4y^2 - 2$
3	$8y^3 - 12y$
4	$16y^4 - 48y^2 + 12$
5	$32y^5 - 160y^3 + 120y$
6	$64y^6 - 480y^4 + 720y^2 - 120$



2. 选择定则

振动能级跃迁偶极

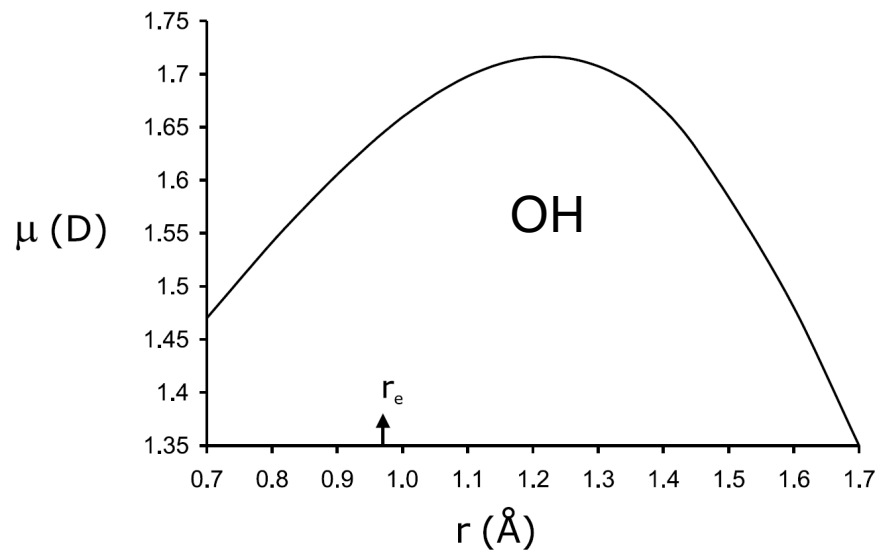
$$\mu_{if} = \langle \psi_v'(x) | \vec{\mu}(x) | \psi_v(x) \rangle$$



电偶极 $\vec{\mu}$ 也是 x 的函数，在平衡位置0附近做泰勒展开

$$\mu(x) = \mu_{x=0} + \left(\frac{\partial \mu}{\partial x}\right)_0 x + \frac{1}{2} \left(\frac{\partial^2 \mu}{\partial x^2}\right)_0 x^2 + \dots$$
 忽略高阶项

认为电偶极矩在平衡位置附近是 x 的线性函数



$$\begin{aligned} \mu_{if} &= \langle \psi_v'(x) | \mu_0 + \left(\frac{\partial \mu}{\partial x}\right)_0 x | \psi_v(x) \rangle \\ &= \langle \psi_v'(x) | \mu_0 | \psi_v(x) \rangle + \left(\frac{\partial \mu}{\partial x}\right)_0 \langle \psi_v'(x) | x | \psi_v(x) \rangle \end{aligned}$$

谐振近似下，振动波函数正交 $\rightarrow 0$

必须 $\neq 0$

2. 选择定则

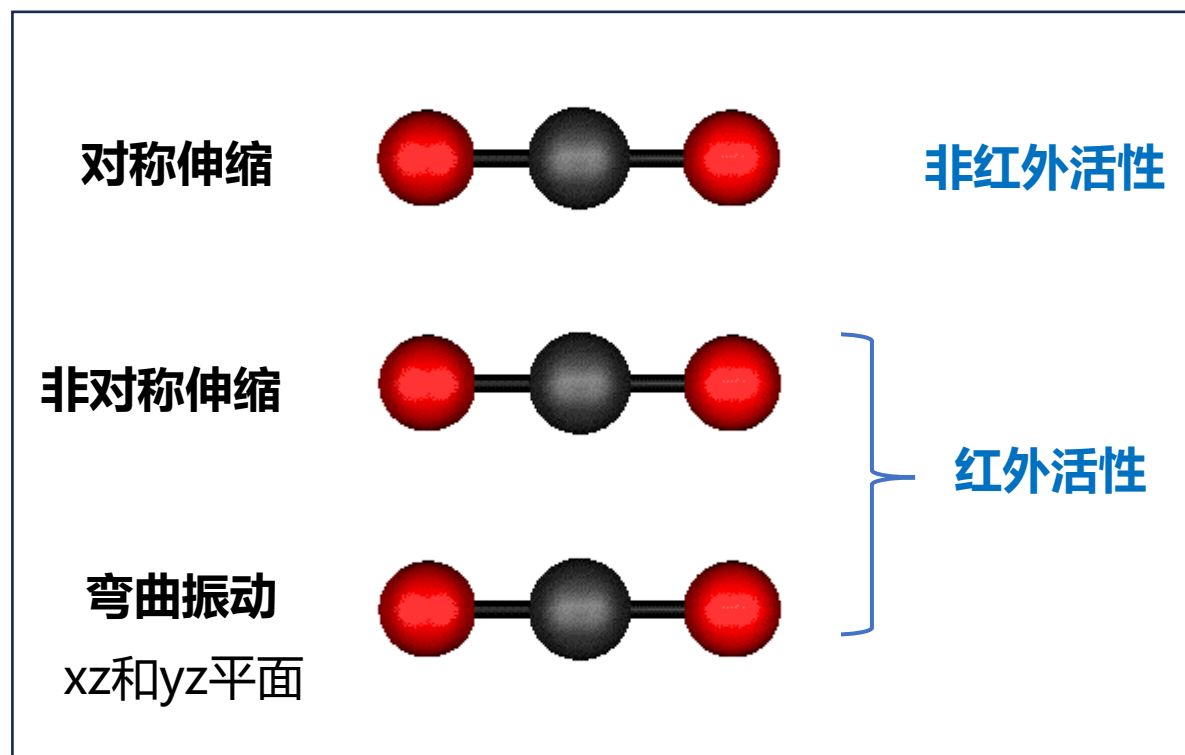
$$\mu_{if} = \underbrace{\left(\frac{\partial \mu}{\partial x}\right)_0}_{\textcircled{1}} \underbrace{\langle \psi'(x) | x | \psi(x) \rangle}_{\textcircled{2}} \neq 0$$

$$\textcircled{1} \rightarrow \left(\frac{\partial \mu}{\partial x}\right)_0 \neq 0$$

电偶极矩大小随振动发生改变

同核双原子分子: $\vec{\mu}_e = 0$
 $d\vec{\mu}/dr = 0$

异核对称分子: $\vec{\mu}_e$ 可能 $= 0$
 $d\vec{\mu}/dr$ 可能 $\neq 0$

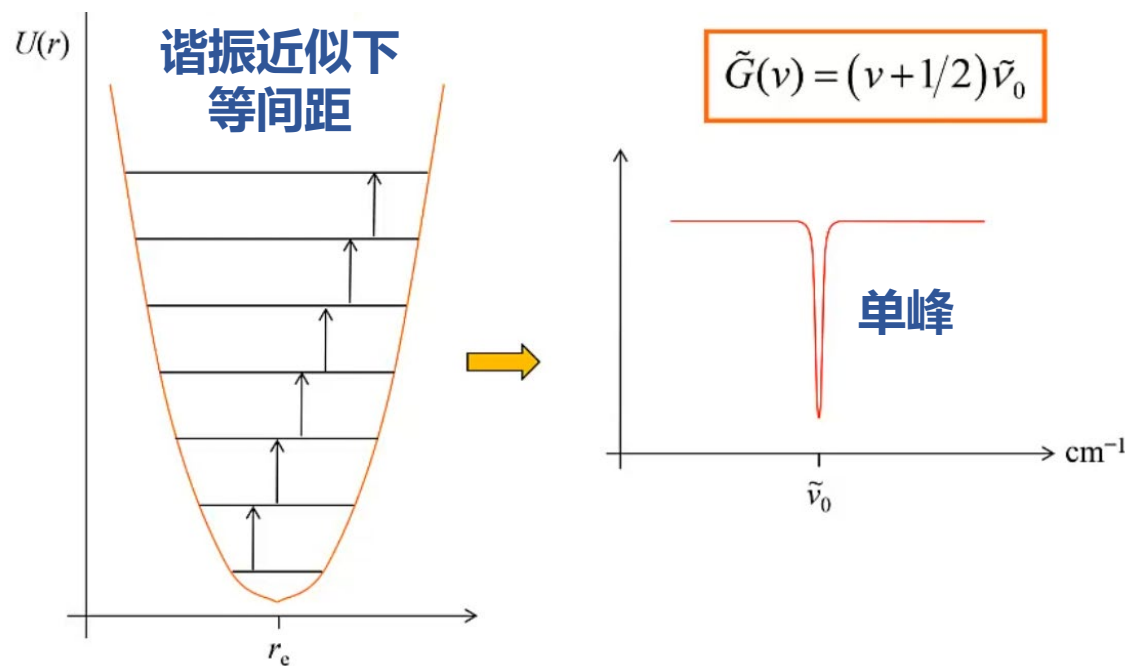


2. 选择定则

$$\mu_{if} = \underbrace{\left(\frac{\partial \mu}{\partial x}\right)_0}_{\textcircled{1}} \underbrace{\langle \psi'(x) | x | \psi(x) \rangle}_{\textcircled{2}} \neq 0$$

$$\textcircled{2} \rightarrow \langle v' | x | v \rangle = \left(\frac{\hbar}{2m\omega}\right)^{1/2} (\sqrt{v+1}\delta_{v',v+1} + \sqrt{v}\delta_{v',v-1})$$

$\Delta v = \pm 1$
相邻能级跃迁

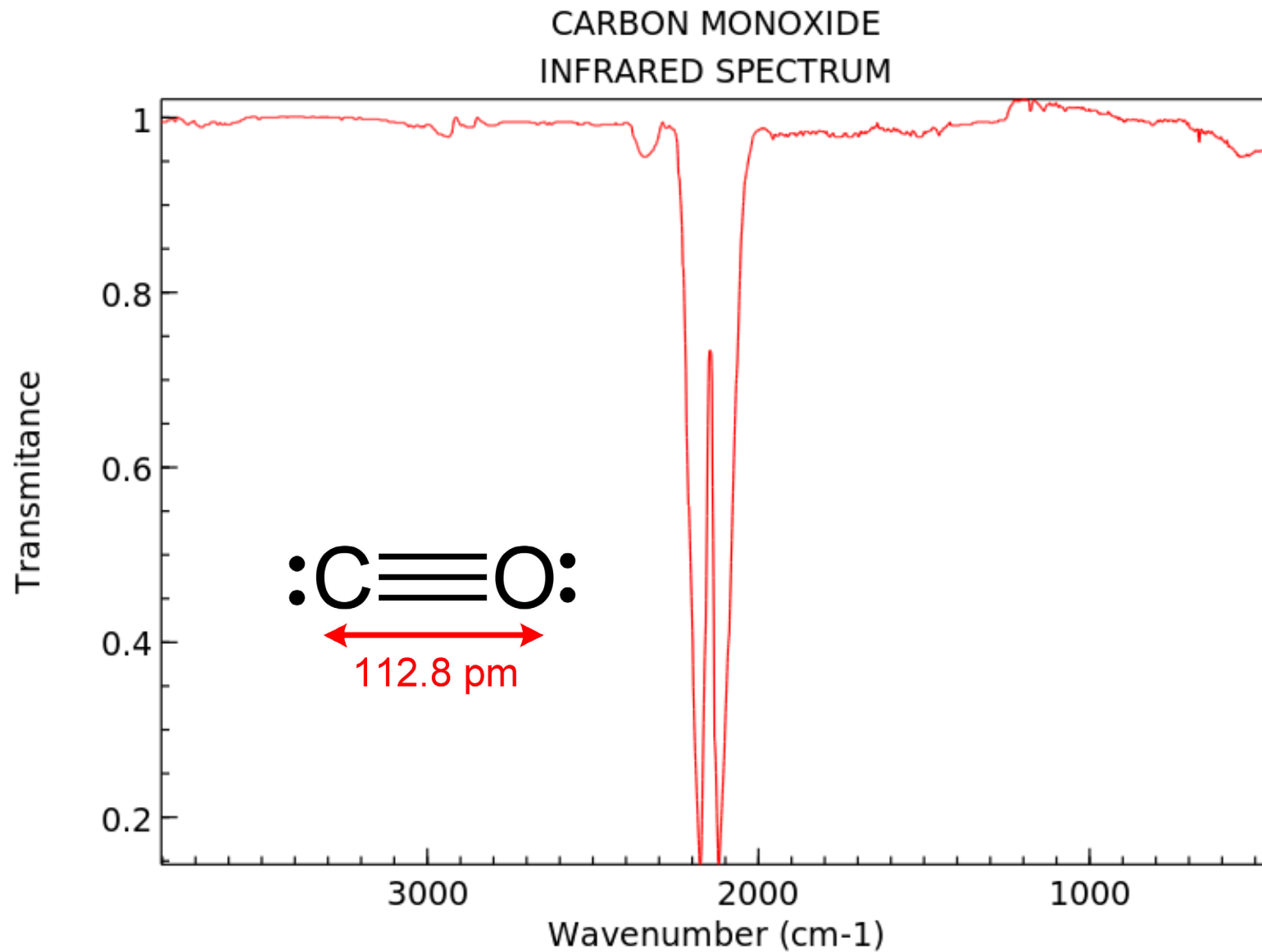


室温下, $k_B T \sim 200 \text{ cm}^{-1}$

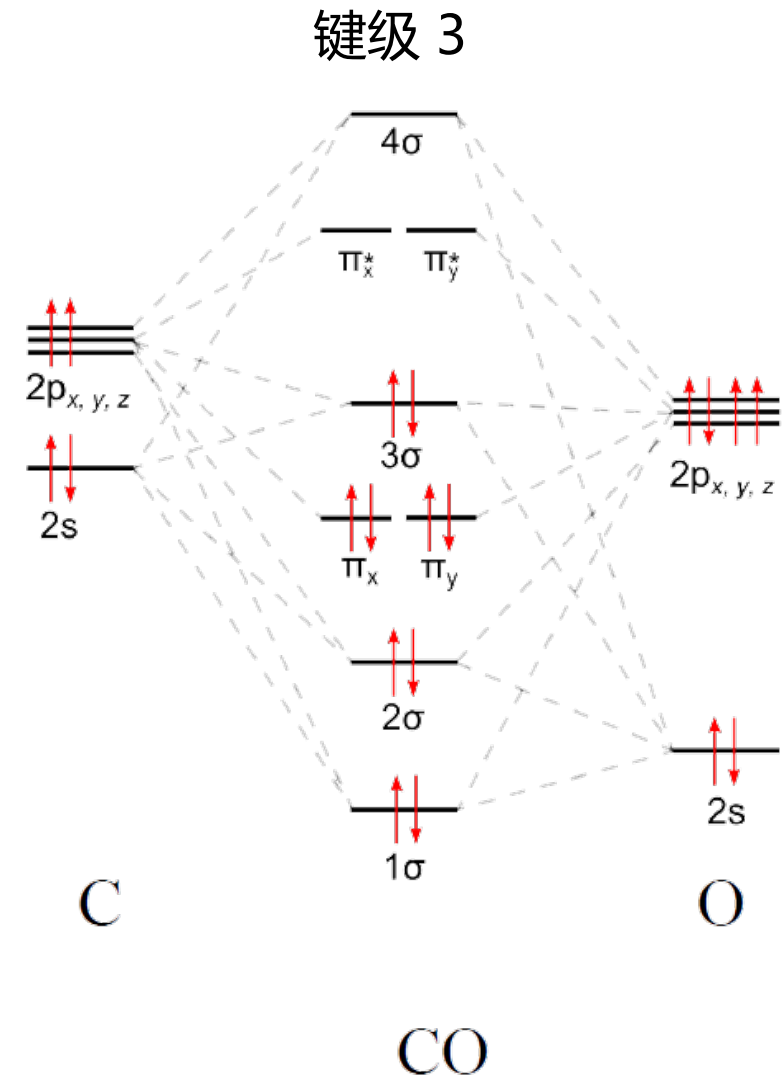
大部分分子都处于振动基态, $v=0$

主要的跃迁来自 $v=0 \rightarrow 1$, 表现出单个跃迁谱线

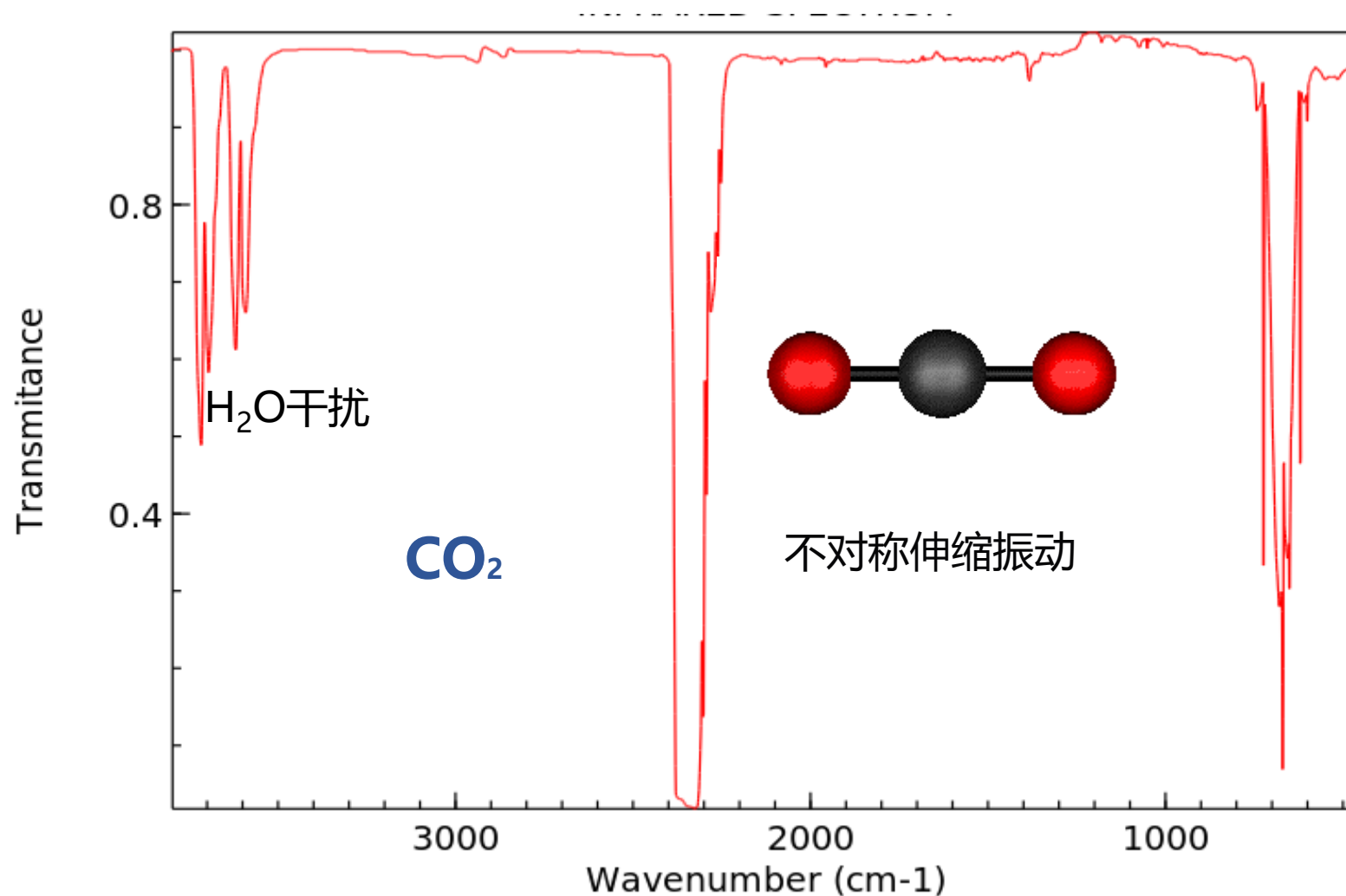
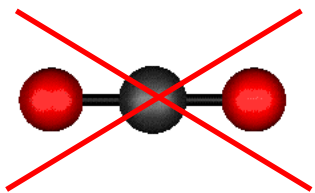
2. 选择定则



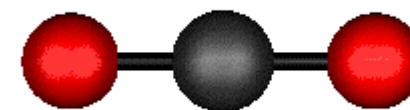
NIST Chemistry WebBook (<https://webbook.nist.gov/chemistry>)



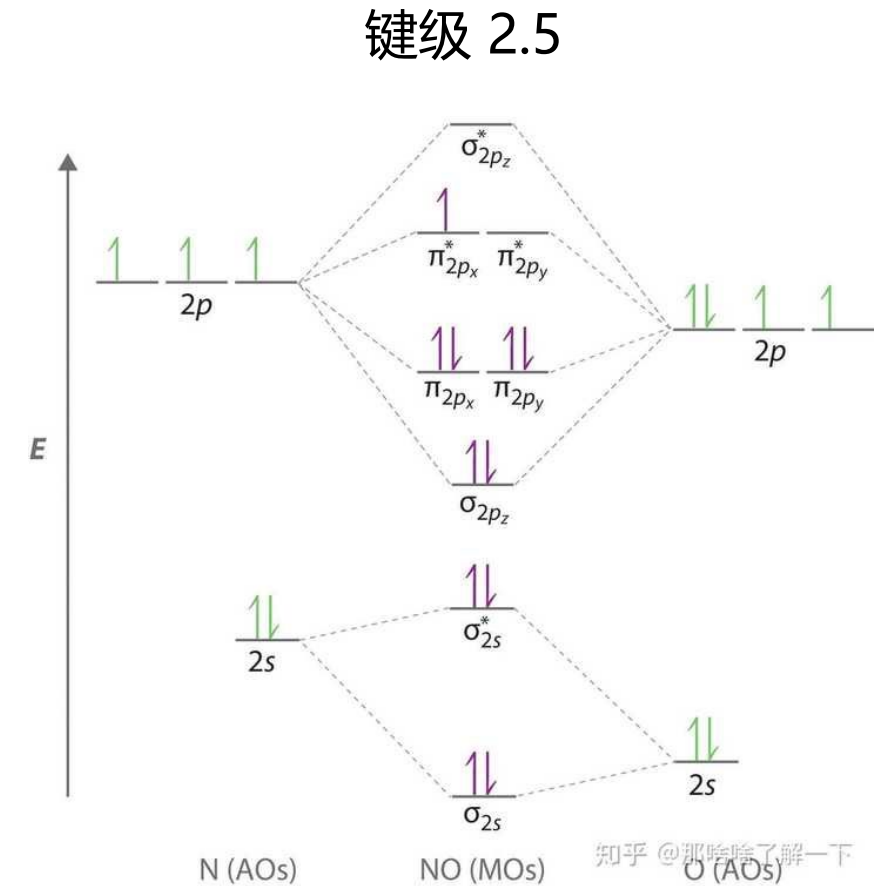
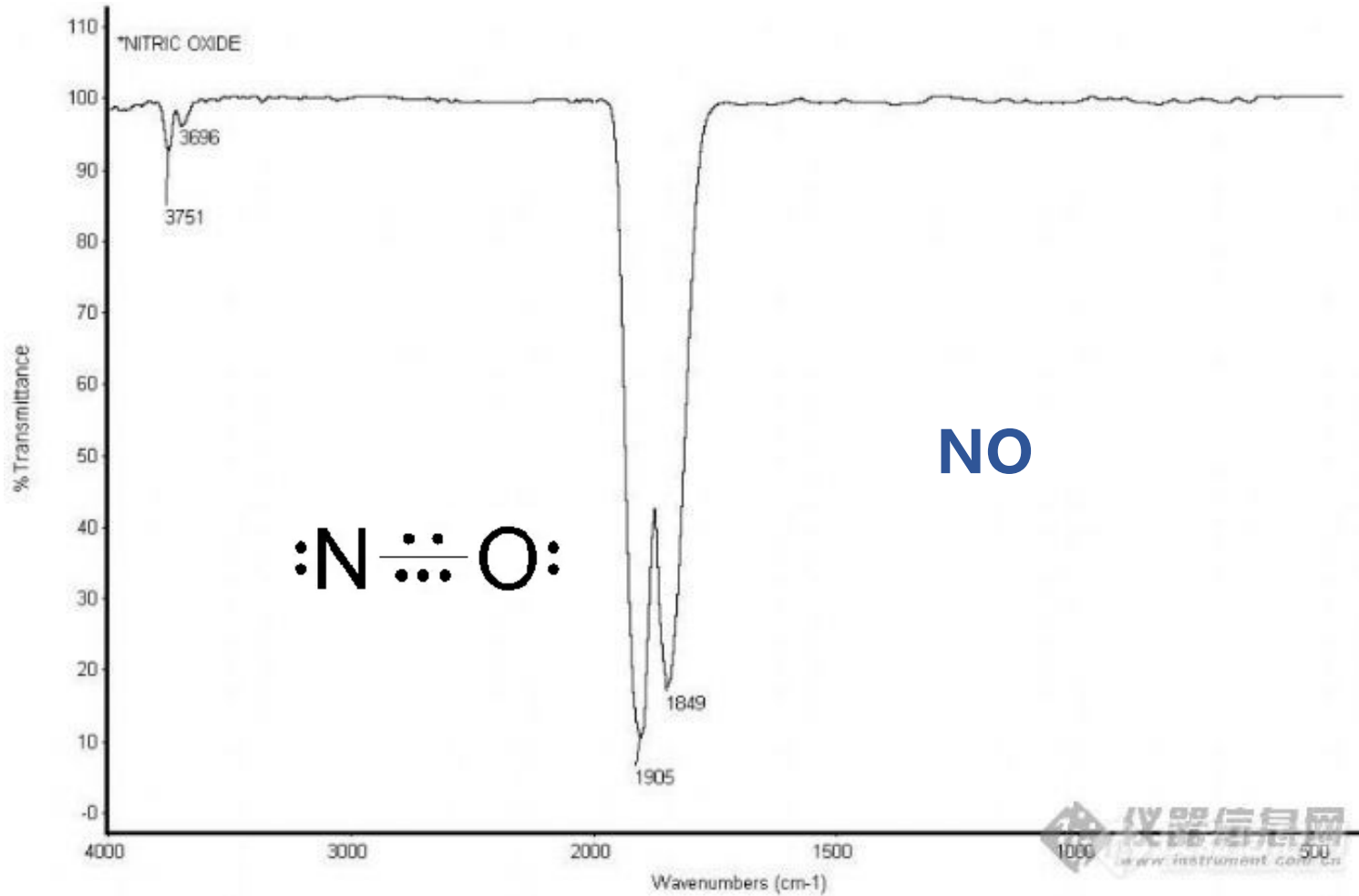
2. 选择定则



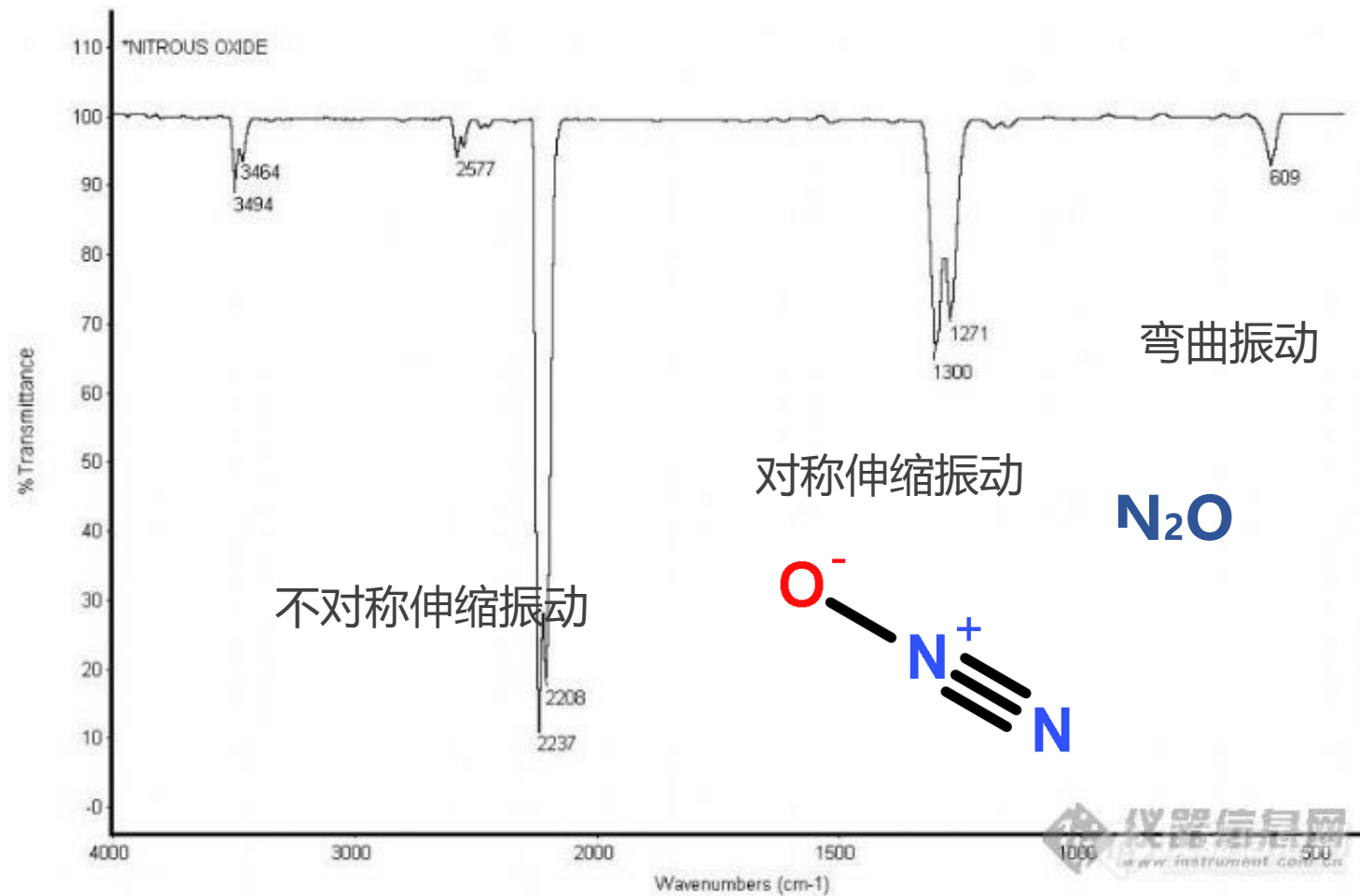
弯曲振动 (简并)



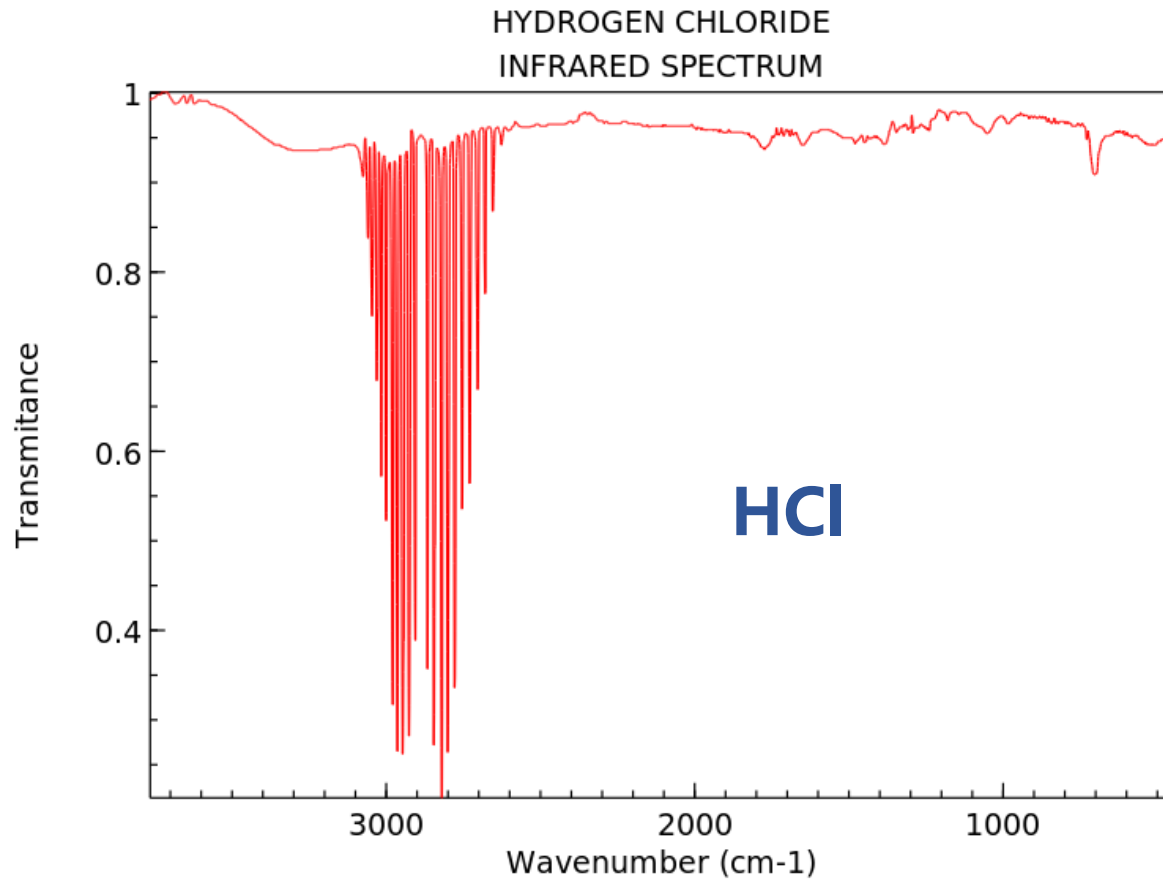
2. 选择定则



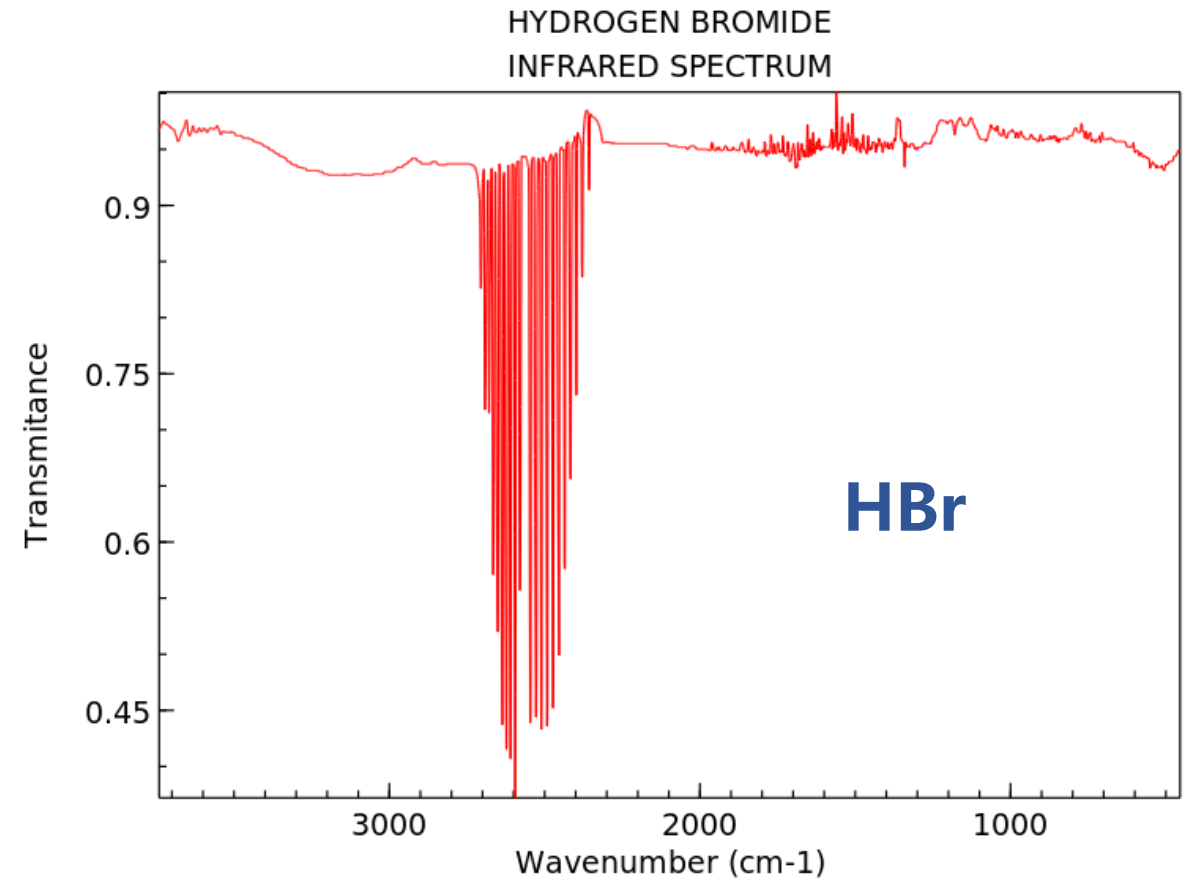
2. 选择定则



2. 选择定则



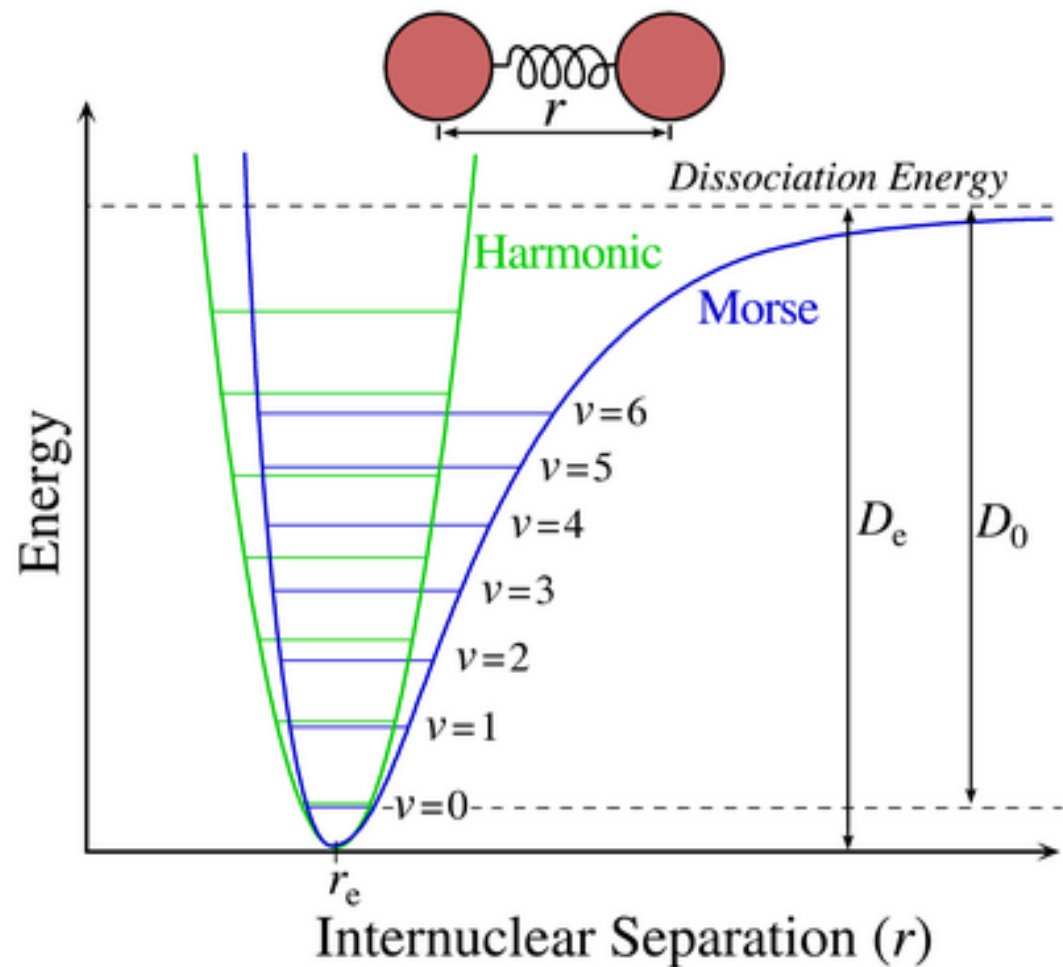
NIST Chemistry WebBook (<https://webbook.nist.gov/chemistry>)



NIST Chemistry WebBook (<https://webbook.nist.gov/chemistry>)

3. 振动非谐性

摩尔斯 (Morse) 势：更接近真实势能曲线

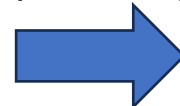


只有在接近平衡位置的低能级振动满足简谐振子模型

$$V(q) = hcD_e(1 - e^{-aq})^2 \quad a = \left(\frac{k}{2hcD_e}\right)^{1/2}$$

D_e 势能曲线最小值对应的深度

求解薛定谔方程



非谐修正：在v大时产生影响

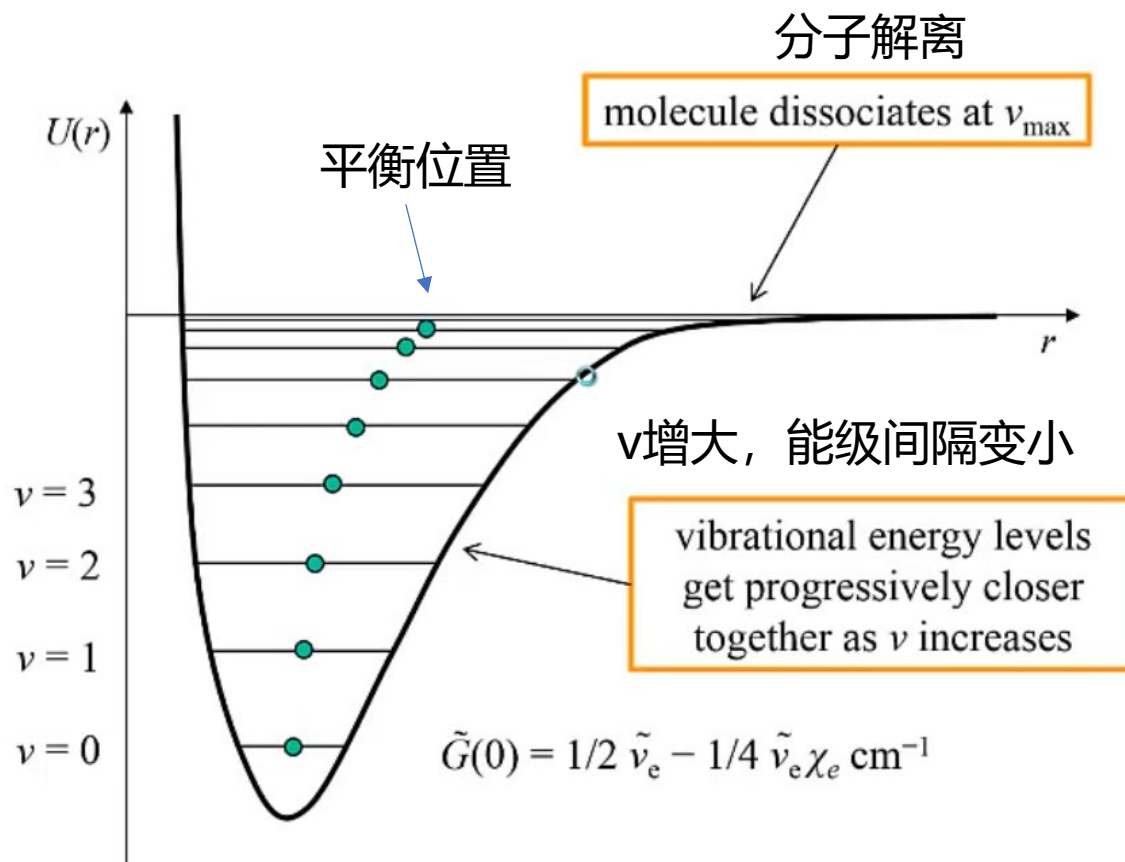
$$E_v = \left(v + \frac{1}{2}\right)\hbar\omega_e - \left(v + \frac{1}{2}\right)^2\hbar\omega_e\chi_e \quad [J]$$

$$\tilde{G}_v = \left(v + \frac{1}{2}\right)\tilde{\nu}_e - \left(v + \frac{1}{2}\right)^2\tilde{\nu}_e\chi_e \quad [\text{cm}^{-1}]$$

$$\text{非谐常数 } \chi_e = \frac{a^2\hbar}{2\mu\omega} = \frac{\tilde{\nu}}{4\tilde{D}_e}$$

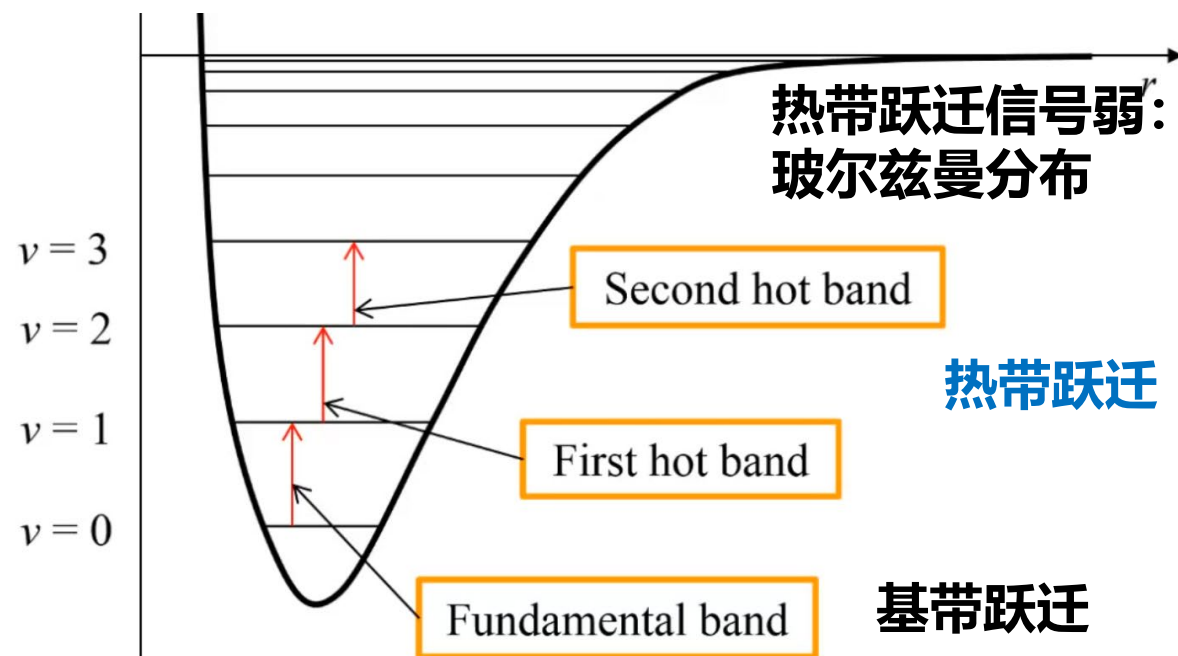
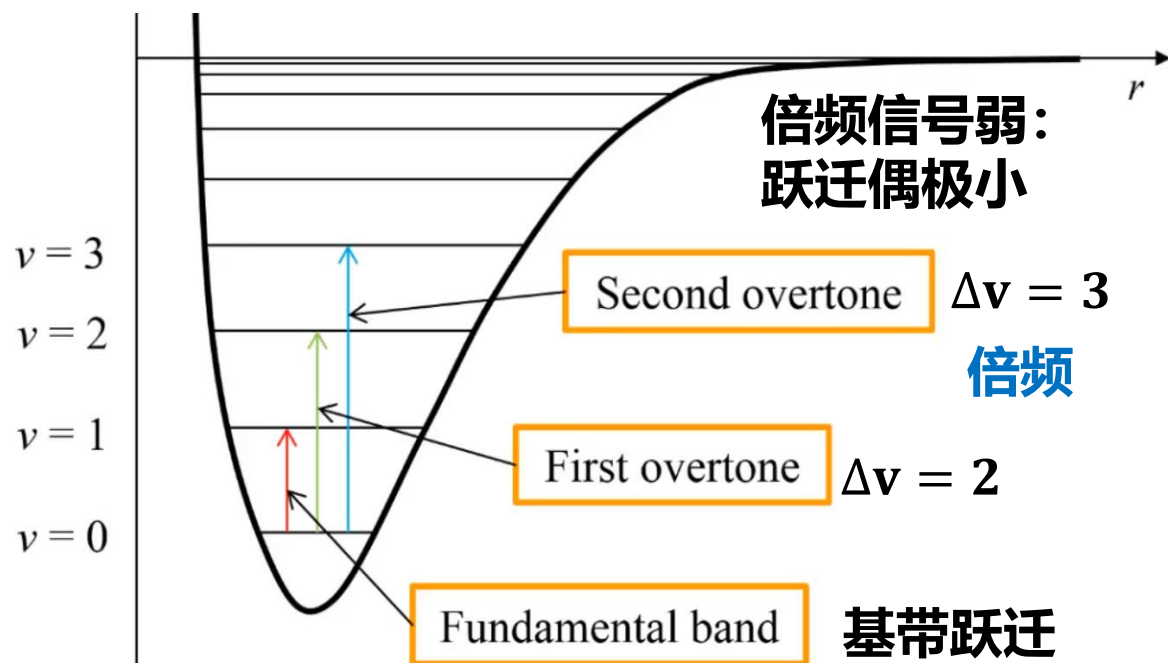
3. 振动非谐性

振动能级



3. 振动非谐性

振动光谱跃迁



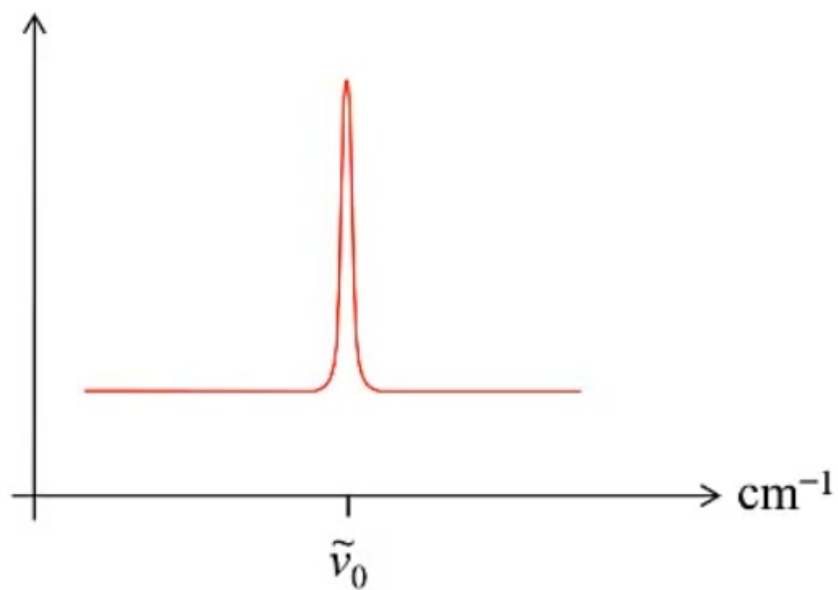
(怎么简单理解)

由于非谐性，跃迁定则可以不严格遵守 $\Delta v = \pm 1$
 $\Delta v = \pm 2, \pm 3 \dots$ 可以，但信号弱很多 ($< 1/20$)

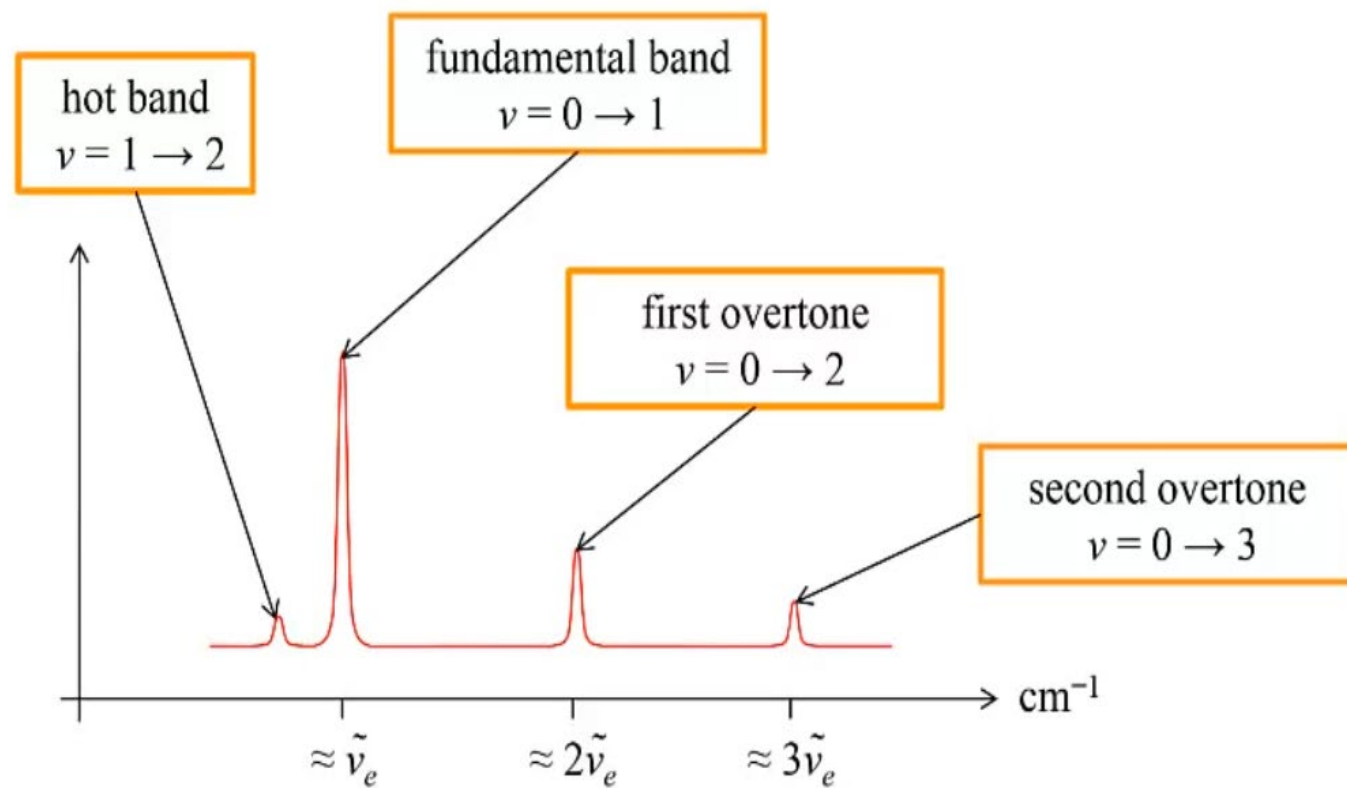
由于非谐性，热跃迁和基带跃迁谱线不再重合

3. 振动非谐性

谐振子模型



非谐
➔



4. 双原子分子的振-转跃迁

刚性转子-谐振子

哈密顿量 $\hat{\mathcal{H}} = \hat{H}_{\text{vib}}(R) + \hat{H}_{\text{rot}}(\theta, \varphi)$
(忽略振动对转动的影响)

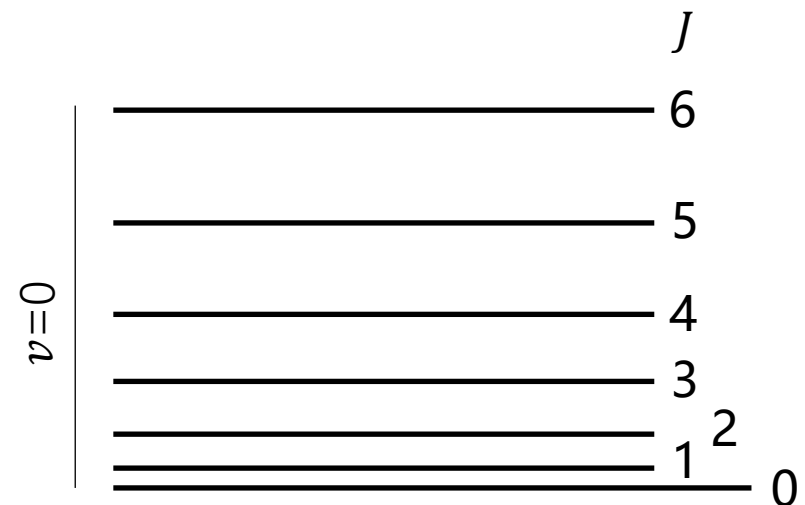
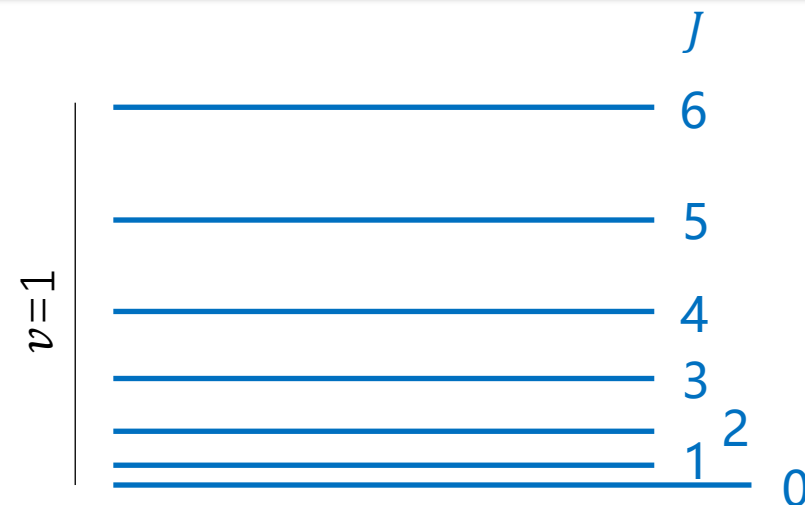


波函数 $\psi = \psi_{\text{vib}}(R)\psi_{\text{rot}}(\theta, \varphi)$

能量 $E_{vr} = \left(v + \frac{1}{2}\right)\hbar\omega + hBJ(J+1) \quad (\text{J})$

$$\tilde{S}_{v,J} = \tilde{G}_v + \tilde{F}_J = \left(v + \frac{1}{2}\right)\tilde{\nu} + \tilde{B}J(J+1) \quad (\text{cm}^{-1})$$

(振动能级上叠加转动能级)



4. 双原子分子的振-转跃迁

跃迁选择定则

$$\left(\frac{\partial \mu}{\partial q}\right)_0 \neq 0 \quad \Delta v = \pm 1 \quad \Delta J = 0, \pm 1 \quad \Delta M = 0, \pm 1$$

$\Delta J = 0$, 非零角动量 (非满壳层) 分子, 如NO

P 分支
 $\Delta J = -1$

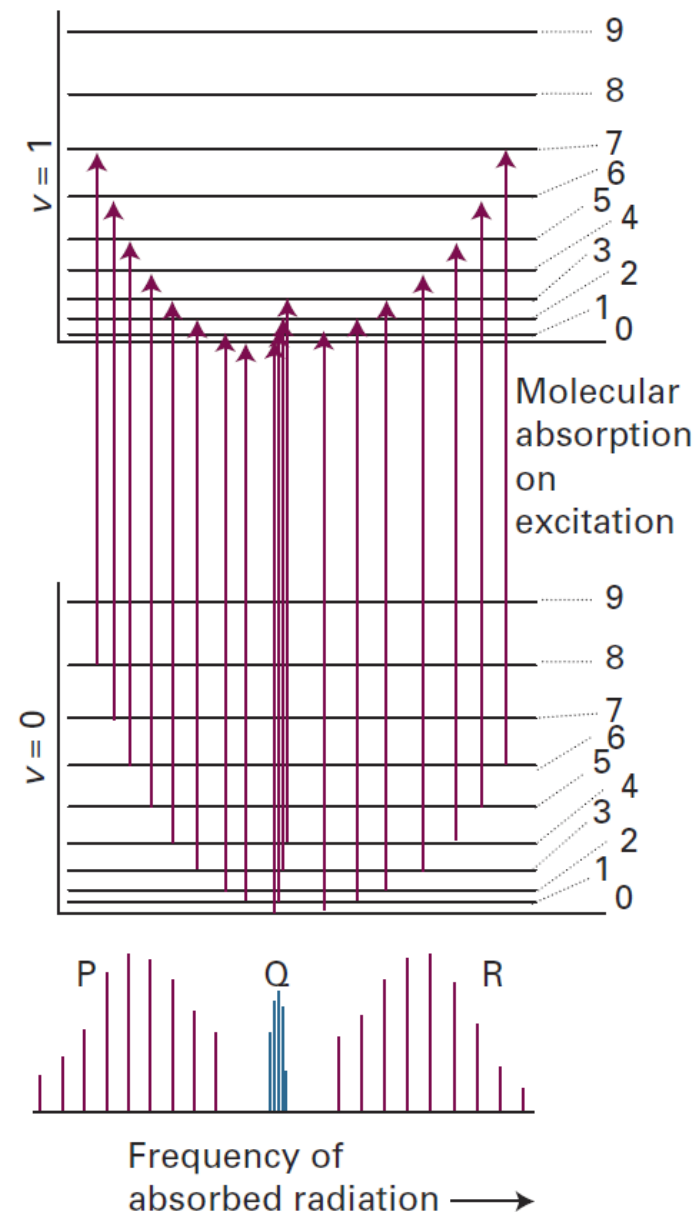
$$\tilde{\nu}_P(J) = \tilde{S}(v+1, J-1) - \tilde{S}(v, J) = \tilde{\nu} - 2\tilde{B}J$$

Q 分支
 $\Delta J = 0$

$$\tilde{\nu}_Q(J) = \tilde{S}(v+1, J) - \tilde{S}(v, J) = \tilde{\nu}$$

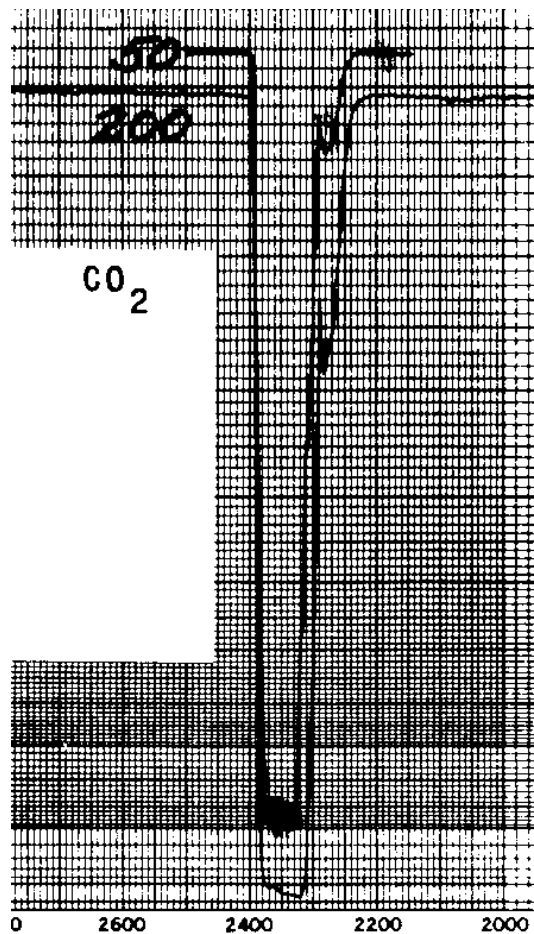
R 分支
 $\Delta J = +1$

$$\tilde{\nu}_R(J) = \tilde{S}(v+1, J+1) - \tilde{S}(v, J) = \tilde{\nu} + 2\tilde{B}(J+1)$$

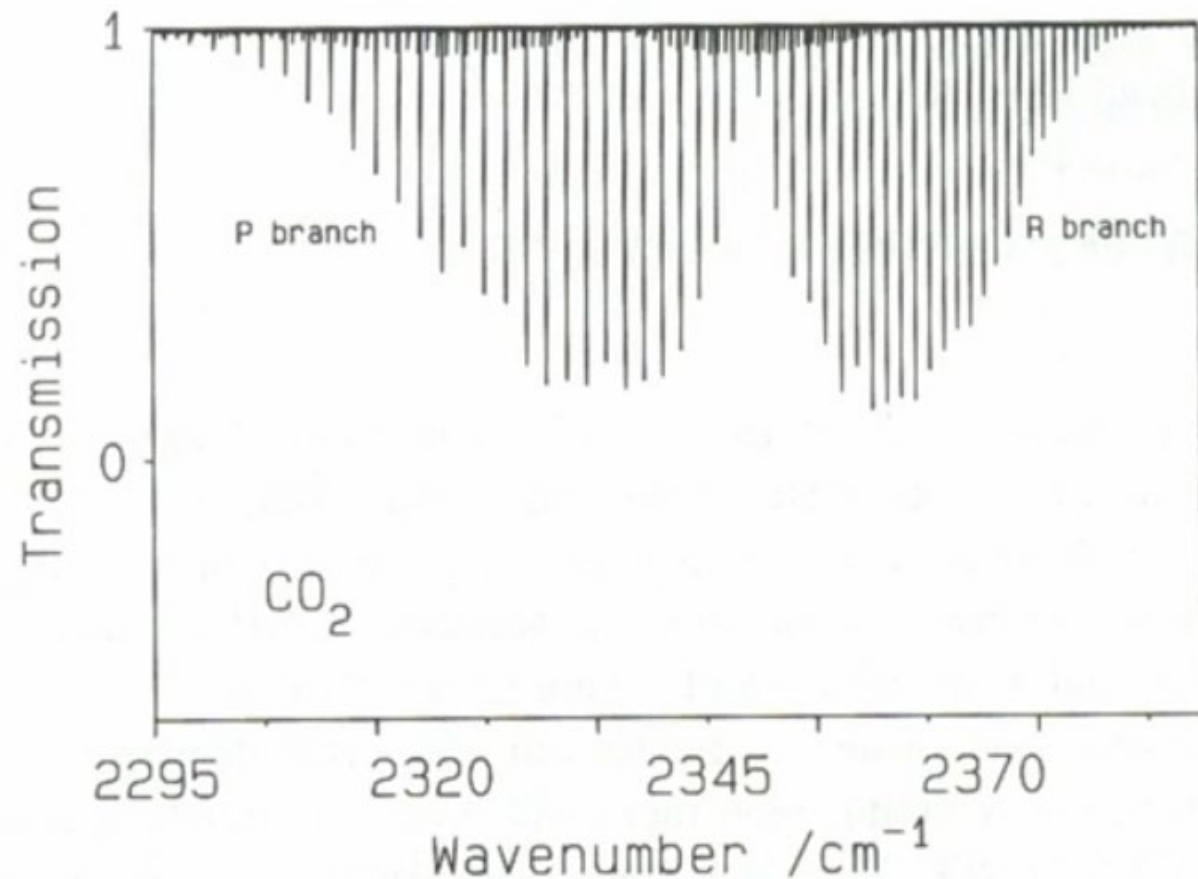


4. 双原子分子的振-转跃迁

振转光谱



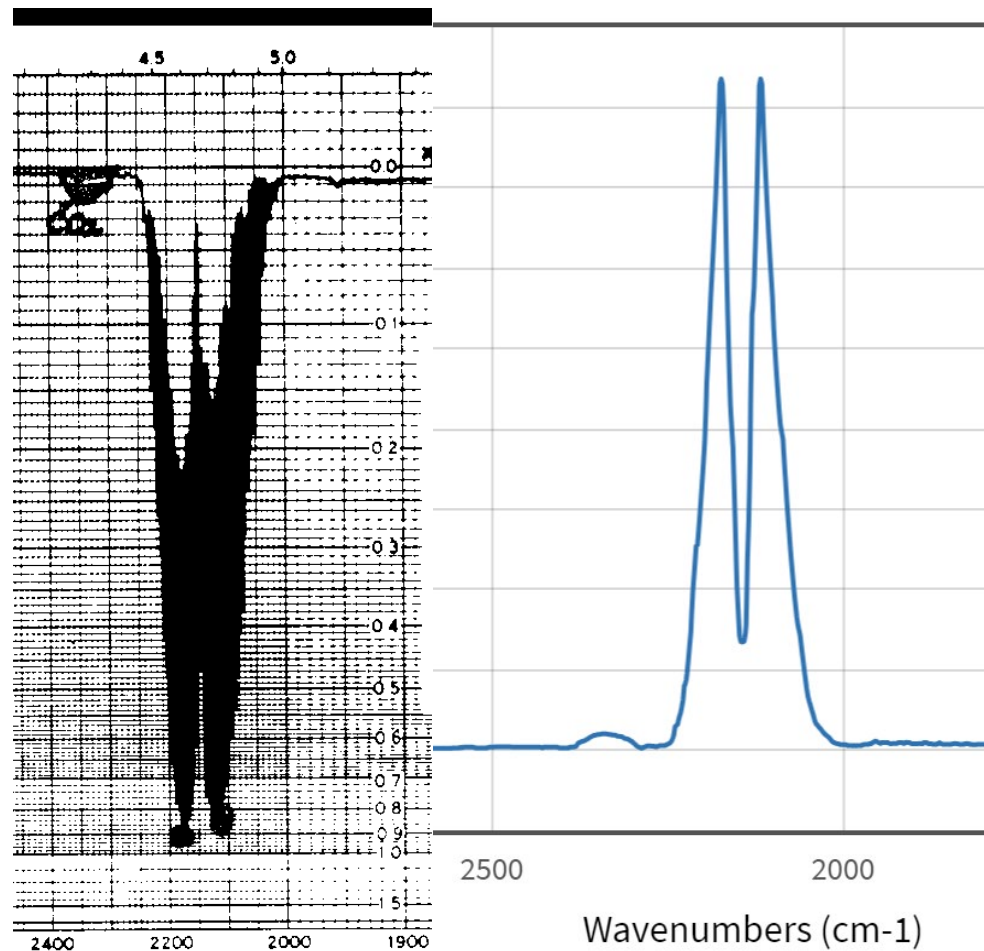
低分辨率 (1964)



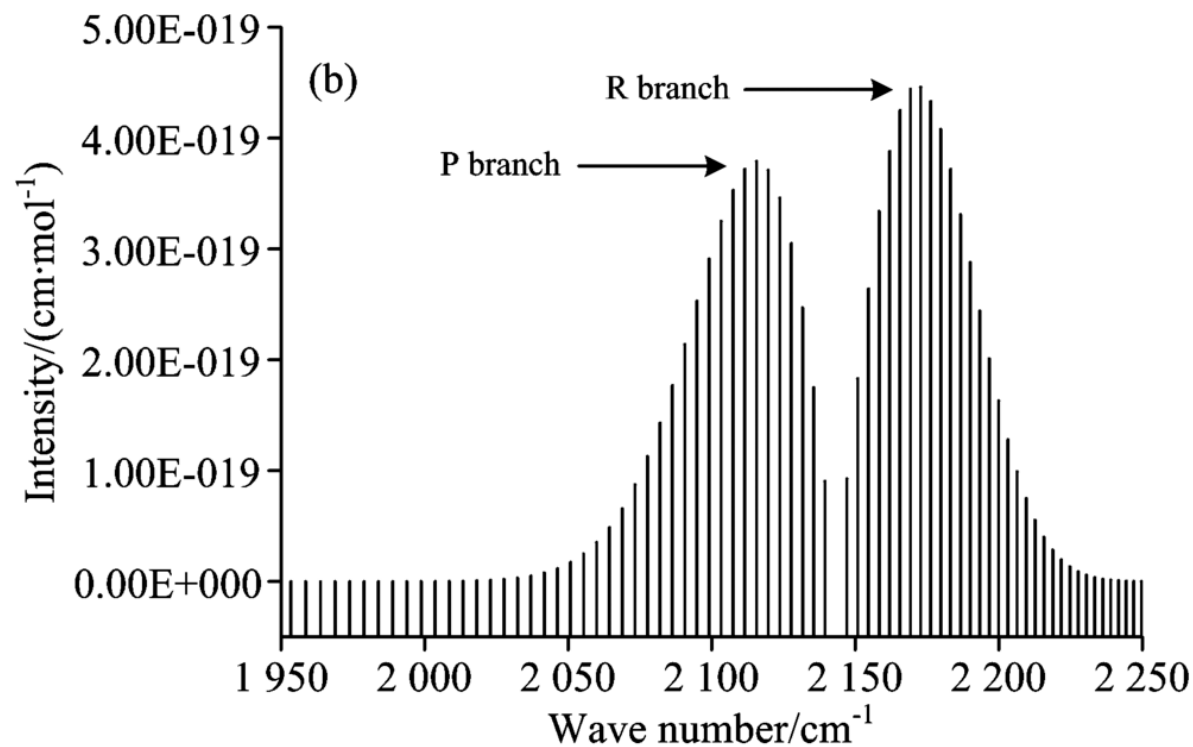
高分辨率

4. 双原子分子的振-转跃迁

振转光谱



低分辨率 (1964)

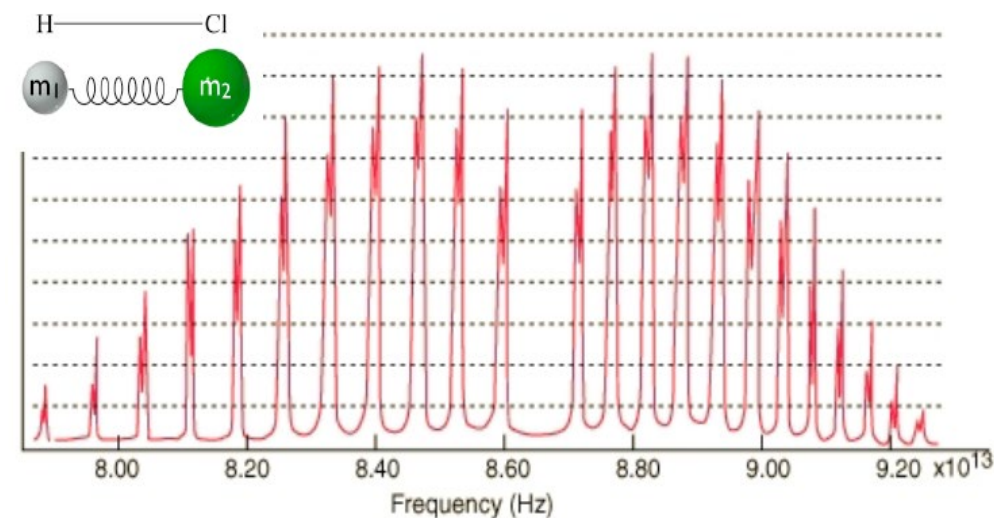
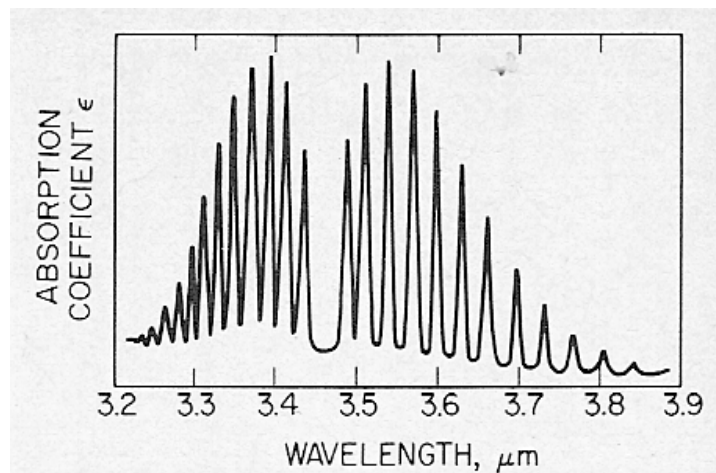
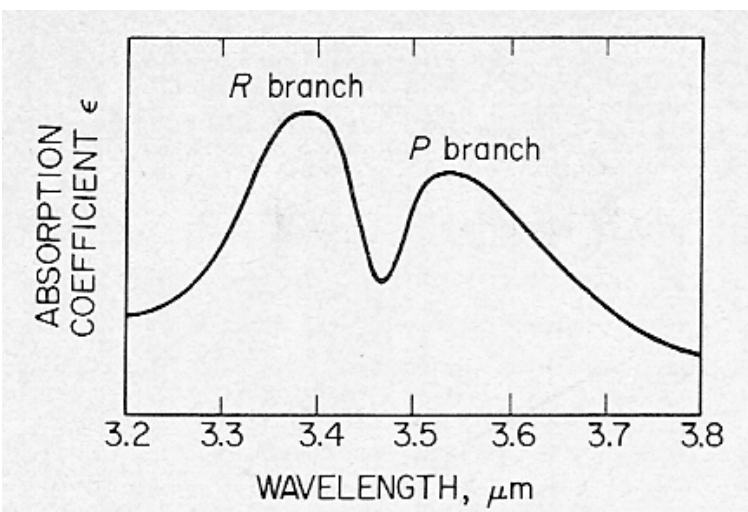


高分辨率

4. 双原子分子的振-转跃迁

振转光谱

IR spectrum of HCl in gas phase



低分辨率



高分辨率



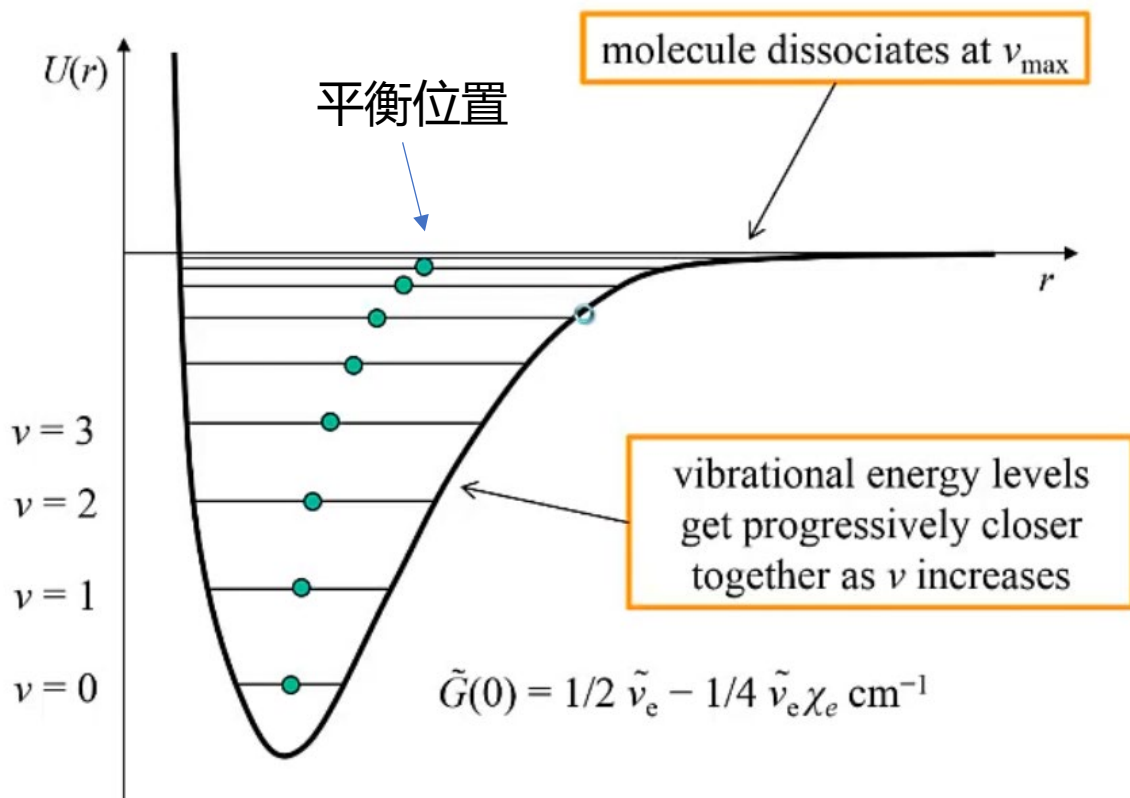
更高分辨率
(H^{35}Cl and H^{37}Cl)

4. 双原子分子的振-转跃迁

振转光谱 (考虑振动非谐性)

振动非谐性对转动的的影响 (振转耦合)

高振动能级 → 键长变长 → 转动惯量变大



$$B = \frac{h}{8\pi^2 I}$$



$$B_{v=0} > B_{v=1}$$

P 分支

$$\Delta J = -1$$

$$\tilde{\nu}_{P(J)} = \tilde{\nu}_0 - J(\tilde{B}_0 + \tilde{B}_1) - J^2(\tilde{B}_0 - \tilde{B}_1)$$

J越大, P分支的间隔越大

R 分支

$$\Delta J = +1$$

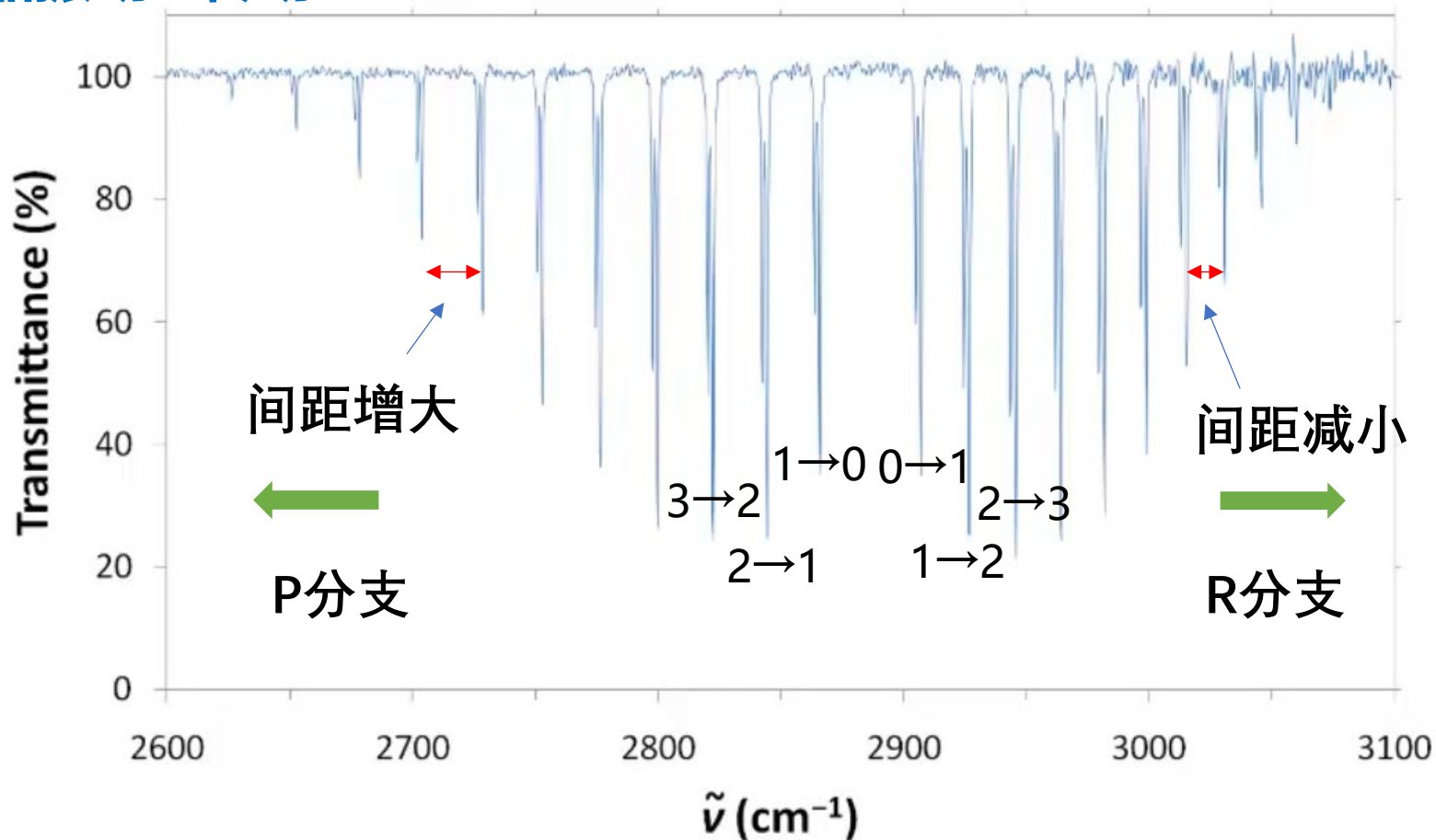
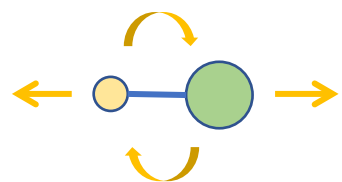
$$\tilde{\nu}_{R(J)} = \tilde{\nu}_0 + (J+1)(\tilde{B}_0 + \tilde{B}_1) - (J+1)^2(\tilde{B}_0 - \tilde{B}_1)$$

J越大, R分支的间隔越小

4. 双原子分子的振-转跃迁

振转光谱 (考虑振动非谐性)

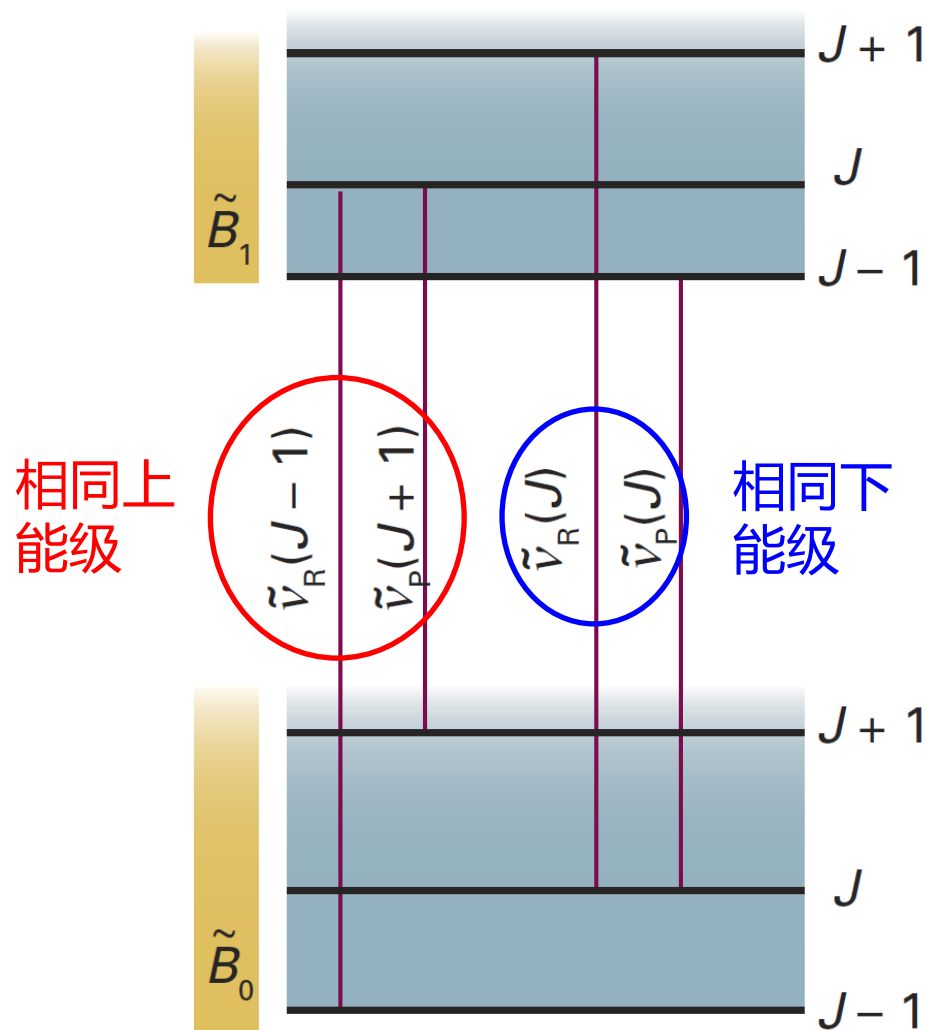
HCl伸缩振动+转动



间距越来越小

4. 双原子分子的振-转跃迁

振转光谱 (考虑振动非谐性)



$$\tilde{\nu}_R(J) - \tilde{\nu}_P(J) = 4\tilde{B}_1(J + \frac{1}{2})$$

→ \tilde{B}_1

$$\tilde{\nu}_R(J-1) - \tilde{\nu}_P(J+1) = 4\tilde{B}_0(J + \frac{1}{2})$$

→ \tilde{B}_0

例: $^1\text{H}^{35}\text{Cl}$, $\tilde{B}_0 = 10.440 \text{ cm}^{-1}$, $\tilde{B}_1 = 10.136 \text{ cm}^{-1}$